

(19) 日本国特許庁(JP)

(12) 公表特許公報(A)

(11) 特許出願公表番号

特表2005-534056

(P2005-534056A)

(43) 公表日 平成17年11月10日(2005.11.10)

(51) Int. Cl. ⁷	F I	テーマコード (参考)
GO2F 1/1343	GO2F 1/1343	2H090
GO2F 1/1335	GO2F 1/1335 505	2H091
GO2F 1/1337	GO2F 1/1337 520	2H092
GO2F 1/1368	GO2F 1/1368	

審査請求 未請求 予備審査請求 未請求 (全 29 頁)

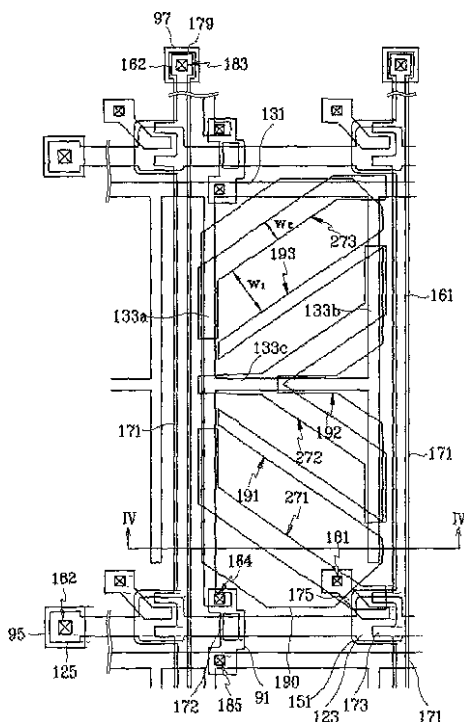
(21) 出願番号	特願2004-522795 (P2004-522795)	(71) 出願人	503447036 サムスン エレクトロニクス カンパニー リミテッド 大韓民国キョンギド、スウォンシ、ヨ ントンク、マエタンドン 416
(86) (22) 出願日	平成14年9月19日 (2002. 9. 19)	(74) 代理人	100094145 弁理士 小野 由己男
(85) 翻訳文提出日	平成17年1月17日 (2005. 1. 17)	(74) 代理人	100106367 弁理士 稲積 朋子
(86) 国際出願番号	PCT/KR2002/001782	(72) 発明者	チョイ, ヨンミン 大韓民国, 137-072 ソウル, ソチ ョーク, ソチョ 2-ドン, 1357-2 1, ソジュ ビルディング 403
(87) 国際公開番号	W02004/010212		
(87) 国際公開日	平成16年1月29日 (2004. 1. 29)		
(31) 優先権主張番号	2002/42658		
(32) 優先日	平成14年7月19日 (2002. 7. 19)		
(33) 優先権主張国	韓国 (KR)		

最終頁に続く

(54) 【発明の名称】 垂直配向型液晶表示装置

(57) 【要約】

第1絶縁基板上に形成されているゲート線、ゲート線上に形成されているゲート絶縁膜、ゲート絶縁膜上に形成されているデータ線、データ線上に形成されている保護膜、保護膜上に形成され第1切開パターンを有する画素電極、第1絶縁基板と対向する第2絶縁基板、第2絶縁基板上に形成され第2切開パターンを有する基準電極を含み、第1切開パターン及び第2切開パターンによって分割される小ドメインの幅は30 μm以下である液晶表示装置を用意する。



【特許請求の範囲】

【請求項 1】

第 1 絶縁基板、

前記第 1 絶縁基板上に形成されているゲート線、

前記ゲート線上に形成されているゲート絶縁膜、

前記ゲート絶縁膜上に形成されているデータ線、

前記データ線上に形成されている保護膜、

前記保護膜上に形成されている画素電極、

前記第 1 絶縁基板と対向している第 2 絶縁基板、

前記第 2 絶縁基板上に形成されている基準電極、

10

前記第 1 基板及び前記第 2 基板のうちの少なくとも一つに形成されている第 1 ドメイン分割手段、

前記第 1 基板及び前記第 2 基板のうちの少なくとも一つに形成され、前記第 1 ドメイン分割手段と共に画素領域を複数の小ドメインに分割する第 2 ドメイン分割手段

を含み、前記小ドメインの幅は 30 μm 以下である液晶表示装置。

【請求項 2】

前記小ドメインの幅は 28 μm 以下である、請求項 1 に記載の液晶表示装置。

【請求項 3】

前記小ドメインの幅は 22 μm 以下である、請求項 2 に記載の液晶表示装置。

【請求項 4】

前記小ドメインの幅は 17 μm 以下である、請求項 3 に記載の液晶表示装置。

20

【請求項 5】

前記第 1 ドメイン分割手段は前記画素電極が有する切開パターンであり、前記第 2 ドメイン分割手段は前記基準電極が有する切開パターンである、請求項 1 に記載の液晶表示装置。

【請求項 6】

前記第 2 ドメイン分割手段の幅は 24 μm 以下である、請求項 5 に記載の液晶表示装置。

【請求項 7】

前記第 2 ドメイン分割手段の幅は 5 μm 以下である、請求項 6 に記載の液晶表示装置。

【請求項 8】

前記小ドメインの長さ方向は前記ゲート線に対して 45 度または 135 度をなす、請求項 1 に記載の液晶表示装置。

30

【請求項 9】

前記データ線は非晶質シリコン層、ドーピングされた非晶質シリコン層、金属層の 3 重層からなる、請求項 1 に記載の液晶表示装置。

【請求項 10】

第 1 絶縁基板、

前記第 1 絶縁基板上に形成され、ゲート線、前記ゲート線と連結されるゲート電極及び前記ゲート線と連結されるゲートパッドを備えるゲート配線、

前記第 1 絶縁基板上に形成され、維持電極線及びその分枝である維持電極を備える維持電極配線、

40

前記ゲート配線及び維持電極配線上に形成されているゲート絶縁膜、

前記ゲート絶縁膜上に形成されている非晶質シリコン層、

前記非晶質シリコン層上に形成されている接触層、

前記接触層上に形成され、前記ゲート線と交差するデータ線、前記データ線と連結されるデータパッド、前記データ線と連結され、前記ゲート電極に隣接するソース電極及び前記ゲート電極に対し前記ソース電極の対向側に位置するドレイン電極を備えるデータ配線、

前記データ配線上に形成されている保護膜、

前記保護膜上に形成され、前記ドレイン電極と連結され、第 1 切開パターンを有する画

50

素電極、

前記第 1 絶縁基板と対向する第 2 絶縁基板、

前記第 2 絶縁基板上に形成され、画素領域を区画するブラックマトリックス、

前記画素領域のそれぞれに形成されるカラーフィルター、

前記カラーフィルター上に形成され、第 2 切開パターンを有する基準電極

を含み、前記第 2 切開パターンの幅は 24 μm 以下である液晶表示装置。

【請求項 11】

前記第 1 絶縁基板と前記第 2 絶縁基板との間に挟持され、それに含まれている液晶分子が電界が印加されない状態で前記第 1 絶縁基板に対し垂直に配向される液晶層をさらに含む、請求項 10 に記載の液晶表示装置。

10

【請求項 12】

前記第 2 切開パターンは幅が 5 μm 以下である、請求項 11 に記載の液晶表示装置。

【請求項 13】

前記第 1 及び第 2 切開パターンの幅は前記液晶層のセルギャップよりも大きいか同じである、請求項 11 に記載の液晶表示装置。

【請求項 14】

前記第 1 切開パターン及び前記第 2 切開パターンは、画素領域を複数の小ドメインに分割し、前記小ドメインの幅は 28 μm 以下である、請求項 11 に記載の液晶表示装置。

【請求項 15】

前記小ドメインの幅は 22 μm 以下である、請求項 14 に記載の液晶表示装置。

20

【請求項 16】

前記小ドメインの幅は 17 μm 以下である、請求項 15 に記載の液晶表示装置。

【請求項 17】

前記カラーフィルターと前記基準電極との間に形成されているオーバーコート膜をさらに含む、請求項 11 に記載の液晶表示装置。

【発明の詳細な説明】

【技術分野】

【0001】

本発明は、垂直配向モード液晶表示装置に関し、特に電極に切開パターンを形成して広視野角を確保した垂直配向モード液晶表示装置に関する。

30

【背景技術】

【0002】

液晶表示装置は、一般に基準電極とカラーフィルターなどが形成されている上部基板と、薄膜トランジスタと画素電極などが形成されている下部基板との間に液晶物質を注入し、画素電極と基準電極に互いに異なる電位を印加することで電界を形成して液晶分子の配列を変更し、これにより、光の透過率を調節して画像を表現する装置である。

【0003】

その中でも電界が印加されない状態で液晶分子の長軸を上下基板に対して垂直をなすように配列した垂直配向モード液晶表示装置は、コントラスト比が大きく広視野角の実現が容易であることで脚光を浴びている。

40

【0004】

垂直配向モード液晶表示装置において広視野角を実現する手段としては、電極に切開パターンを形成する方法と突起を形成する方法などがある。これらはいずれもフリンジフィールド (fringe field) を形成して液晶の傾斜方向を 4 方向に均等に分散することによって広視野角を確保する方法である。このうち、電極に切開パターンを形成する PVA (patterned vertically aligned) モードは、IPS (In Plane Switching) モードをに代わる広視野角技術として認められている。

【0005】

また、PVA モードは、液晶分子の動きに挟じれがなく、電界方向に垂直方向にスプレ

50

イしたり、または曲がる弾力性による動きのみがあるので、TN (Twisted nematic) 方式に比べて相対的に速い応答特性を有する。ところが、LCD TV市場が大きくなるにつれて現在の25ms水準よりもさらに速い応答速度のものが要求されている。一般に、誘電率異方性が高いほど液晶分子に印加される電圧が強くなり、応答速度が向上するものと予測され、回転粘度が低いほど液晶分子の動きが速くなり、電場オフ時に復元される速度もまた速くなって応答時間が短縮する効果があるものと知られている。これにより、液晶材料を改善して応答速度の向上を試みているが、負の誘電率異方性を有する液晶においては物性的に誘電率異方性を向上し、回転粘度を低くすることに限界がある。したがって、液晶材料の改善による応答速度の向上には限界がある。

【発明の開示】

10

【発明が解決しようとする課題】

【0006】

本発明が目的とする技術的課題は、液晶表示装置の応答速度を向上させることである。

【課題を解決するための手段】

【0007】

前記のような課題を解決するために本発明では、電極の幅及び切開部の幅を最適化する。基本的に切開部の幅はフリンジフィールドを形成するために切開部の幅/セルギャップ1.0を満足する必要がある。

【0008】

詳細には、第1絶縁基板、前記第1絶縁基板上に形成されているゲート線、前記ゲート線上に形成されているゲート絶縁膜、前記ゲート絶縁膜上に形成されているデータ線、前記データ線上に形成されている保護膜、前記保護膜上に形成されている画素電極、前記第1絶縁基板と対向する第2絶縁基板、前記第2絶縁基板上に形成されている基準電極、前記第1基板及び前記第2基板のうち少なくとも一つに形成されている第1ドメイン分割手段、前記第1基板及び前記第2基板のうち少なくとも一つに形成され、前記第1ドメイン分割手段と共に画素領域を複数の小ドメインに分割する第2ドメイン分割手段を含み、前記小ドメインの幅は30µm以下である液晶表示装置を用意する。

20

【0009】

この時、前記小ドメインの幅は28µm以下、22µm以下、または17µm以下に設定することができる。

30

また、前記第1ドメイン分割手段は前記画素電極が有する切開パターンであり、前記第2ドメイン分割手段は前記基準電極が有する切開パターンであり得、第2ドメイン分割手段の幅は24µm以下または5µm以下に設定することができる。前記小ドメインの長さ方向は前記ゲート線に対し45度または135度をなすことが好ましい。なお、前記データ線は、非晶質シリコン層、ドーピングされた非晶質シリコン層、金属層の3重層からなることができる。

【0010】

または、第1絶縁基板、前記第1絶縁基板上に形成され、ゲート線、前記ゲート線と連結されているゲート電極及び前記ゲート線と連結されているゲートパッドを備えるゲート配線、前記第1絶縁基板上に形成され、維持電極線及びその分枝である維持電極を備える維持電極配線、前記ゲート配線及び維持電極配線上に形成されているゲート絶縁膜、前記ゲート絶縁膜上に形成されている非晶質シリコン層、前記非晶質シリコン層上に形成されている接触層、前記接触層上に形成され前記ゲート線と交差するデータ線、前記データ線と連結されるデータパッド、前記データ線と連結され、前記ゲート電極に隣接するソース電極及び前記ゲート電極に対し前記ソース電極の対向側に位置するドレイン電極を備えるデータ配線、前記データ配線上に形成されている保護膜、前記保護膜上に形成され、前記ドレイン電極と連結され、第1切開パターンを有する画素電極、前記第1絶縁基板と対向する第2絶縁基板、前記第2絶縁基板上に形成され画素領域を区画するブラックマトリックス、前記画素領域のそれぞれに形成されているカラーフィルター、前記カラーフィルター上に形成され第2切開パターンを有する基準電極を含み、前記第2切開パターンの幅は

40

50

2.4 μm以下である液晶表示装置を用意する。

【0011】

この時、前記第1絶縁基板と前記第2絶縁基板との間に挟持され、それに含まれている液晶分子が電界が印加されない状態で前記第1絶縁基板に対し垂直に配向されている液晶層をさらに含む。また、第2切開パターンの幅は5 μm以下に設定することができ、第1切開パターン及び第2切開パターンは画素領域を複数の小ドメインに分割し、小ドメインの幅は2.8 μm以下、2.2 μm以下、または1.7 μm以下に設定することができる。なお、前記カラーフィルターと前記基準電極との間に形成されているオーバーコート膜をさらに含むことが好ましい。

【発明の効果】

10

【0012】

本発明により、液晶表示装置の開口率を向上させることができ、画像信号の歪曲を減少させることができる。

【発明を実施するための最良の形態】

【0013】

以下、添付した図面を参照して、本発明の実施例に対して、本発明が属する技術分野における通常の知識を有する者が容易に実施することができるように詳細に説明する。しかし、本発明は、多様な形態で実現することができ、ここで説明する実施例に限定されない。

【0014】

20

図面は、各種層及び領域を明確に表現するために、厚さを拡大して示している。明細書全体を通じて類似した部分については同一な図面符号を付けている。層、膜、領域、板などの部分が、他の部分の“上に”あるとする時、これは他の部分の“すぐ上に”ある場合に限らず、その中間に更に他の部分がある場合も含む。逆に、ある部分が他の部分の“すぐ上に”あるとする時、これは中間に他の部分がない場合を意味する。

【0015】

以下、図面を参考にして本発明の実施例による液晶表示装置用薄膜トランジスタ基板の構造について説明する。

図1は本発明の第1実施例による液晶表示装置用薄膜トランジスタ基板の配置図であり、図2は本発明の第1実施例による液晶表示装置用カラーフィルター基板の配置図であり、図3は本発明の第1実施例による液晶表示装置の配置図であり、図4は図3のIV-IV'線による断面図である。

30

【0016】

液晶表示装置は、下部基板110とこれと対向している上部基板210、及び下部基板110と上部基板210との間に注入され、基板110、210に垂直に配向されている液晶分子を含む液晶層3からなる。

【0017】

ガラスなどの透明な絶縁物質からなる下部基板110上には、ITO(indium tin oxide)やIZO(indium zinc oxide)などの透明な導電物質からなり、切開部191、192、193を有する画素電極190が形成され、各画素電極190は薄膜トランジスタに接触され、画像信号電圧の印加を受ける。この時、薄膜トランジスタは、走査信号を伝達するゲート線121と画像信号を伝達するデータ線171にそれぞれ接触されて、走査信号に従って画素電極190をオンオフする。また、下部基板110の下面には下部偏光板12が付着されている。ここで、画素電極190は、反射型液晶表示装置の場合、透明な物質で形成しないこともあり、そのときは下部偏光板12も不要である。

40

【0018】

また、ガラスなどの透明な絶縁物質からなる上部基板210の下面に光漏れを防止するためのブラックマトリクス220と、赤、緑、青のカラーフィルター230及びITOまたはIZOなどの透明な導電物質からなる基準電極270が形成されている。ここで、基準電極270には切開部271、272、273が形成されている。ブラックマトリッ

50

クス 220 は、画素領域の周囲部のみでなく基準電極 270 の切開部 271、272、273 と重なる部分にも形成できる。これは、切開部 271、272、273 によって発生する光漏れを防止するためである。

【0019】

以下、第 1 実施例による液晶表示装置についてより詳細にする。

下部の絶縁基板 110 上に横方向にゲート線 121 が形成されている。ゲート線 121 にはゲート電極 123 が突起状に形成され、一端にゲートパッド 125 が形成されている。絶縁基板 110 上にはゲート線 121 と並んで維持電極線 131 が形成されている。維持電極線 131 は縦方向に形成されている二つの維持電極 133a、133b と連結されており、これら二つの維持電極 133a、133b は横方向維持電極 133c によって互いに連結されている。ここで、維持電極線 131 は 2 つ以上であり得る。ゲート線 121、ゲート電極 123、維持電極線 131 及び維持電極 133 は、アルミニウムまたはクロムなどの金属で形成される。この時、これらは単一層で形成したり、クロム層とアルミニウム層を連続積層してなる二重層で形成することもできる。この他にも種々の金属を用いてゲート配線及び共通配線を形成できる。

10

【0020】

ゲート線 121 と維持電極線 131 及び維持電極 133 の上には、窒化ケイ素 (SiN_x) などからなるゲート絶縁膜 140 が形成されている。

ゲート絶縁膜 140 の上には縦方向にデータ線 171 が形成されている。データ線 171 には分枝としてソース電極 173 が形成され、ソース電極 173 に隣接してドレイン電極 175 が形成され、データ線 171 の一端にはデータパッド 179 が形成されている。また、ゲート絶縁膜 140 上にはゲート線 121 と重なる橋部金属片 172 が形成されている。データ線 171、ソース電極 173、ドレイン電極 175 及びデータパッド 179 もゲート配線と同様にクロムとアルミニウムなどの物質で形成される。なお、単一層や多重層で形成することができる。

20

【0021】

ソース電極 173 とドレイン電極 175 の下部には薄膜トランジスタのチャンネル部として使われる非晶質シリコン層 151 が形成され、データ線 171 の下にはチャンネル部非晶質シリコン層 151 を縦に長く連結しているデータ線部非晶質シリコン層 153 が形成されている。非晶質シリコン層 151、153 の上にはソース及びドレイン電極 173、175 とチャンネル部非晶質シリコン層 151 の間の接触抵抗を減少させるための接触層 161 が形成されている。接触層 161 は n 型不純物で高濃度にドーピングされた非晶質シリコンを用いて形成する。

30

【0022】

データ線 171 などの上には、窒化ケイ素などの無機絶縁物や樹脂などの有機絶縁物からなる保護膜 180 が形成されている。保護膜 180 にはドレイン電極 175 を露出する接触孔 181 が形成されている。

【0023】

保護膜 180 上には切開部 191、192、193 を有する画素電極 190 が形成されている。画素電極 190 は、ITO (indium tin oxide) や IZO (indium zinc oxide) などのような透明導電体やアルミニウム (Al) のような光反射特性が優れた不透明導電体を使用して形成する。画素電極 190 に形成されている切開部 191、192、193 は、画素電極 190 を上下に半分する位置に横方向に形成される横切開部 192 と、半分した画素電極 190 の上下部分にそれぞれ斜線方向に形成される斜線開口部 191、193 を含む。この時、上下の斜線開口部 191、193 は互いに垂直をなしている。これは、フリッジフィールドの方向を 4 方向に均等に分散するためである。

40

【0024】

また、保護膜 180 の上にはゲート線 121 を隔てて維持電極 133a と維持電極線 131 を連結する維持配線連結橋 91 が形成されている。維持配線連結橋 91 は、保護膜 180 とゲート絶縁膜 140 にわたって形成されている接触孔 183、184 を通じて維持

50

電極 1 3 3 a 及び維持電極線 1 3 1 に接触している。維持配線連結橋 9 1 は橋部金属片 1 7 2 と重畳している。維持配線連結橋 9 1 は下部基板 1 1 0 上の維持配線全体を電氣的に連結する役割をする。このような維持配線は必要な場合、ゲート線 1 2 1 やデータ線 1 7 1 の欠陥修理に利用でき、橋部金属片 1 7 2 はこのような修理のためにレーザーを照射するときにゲート線 1 2 1 と維持配線連結橋 9 1 の電氣的連結を補助するために形成する。

【 0 0 2 5 】

保護膜 1 8 0 上には補助ゲートパッド 9 5 及び補助データパッド 9 7 が形成されている。補助ゲートパッド 9 5 は保護膜 1 8 0 とゲート絶縁膜 1 4 0 にわたって形成されている接触孔 1 8 2 を通じてゲートパッド 1 2 5 に連結されており、補助データパッド 9 7 は保護膜 1 8 0 に形成されている接触孔 1 8 3 を通じてデータパッド 1 7 9 に連結されている。

10

【 0 0 2 6 】

上部の絶縁基板 2 1 0 には光漏れを防止するためのブラックマトリックス 2 2 0 が形成されている。ブラックマトリックス 2 2 0 の上には赤、緑、青色のカラーフィルター 2 3 0 が形成されている。カラーフィルター 2 3 0 の上には切開部 2 7 1、2 7 2、2 7 3 を有する基準電極 2 7 0 が形成されている。基準電極 2 7 0 は I T O または I Z O などの透明な導電体で形成する。

【 0 0 2 7 】

基準電極 2 7 0 の切開部 2 7 1、2 7 2、2 7 3 は画素電極 1 9 0 の斜線開口部 1 9 1、1 9 3 を中央に介在しており、これと並ぶ斜線部と画素電極 1 9 0 の辺と重なっている屈折部を含む。この時、屈折部は縦方向屈折部と横方向屈折部に分類される。

20

【 0 0 2 8 】

前記のような構造の薄膜トランジスタ基板とカラーフィルター基板を整列して結合し、その間に液晶物質を注入して垂直配向すれば本発明による液晶表示装置の基本構造が完成する。薄膜トランジスタ基板とカラーフィルター基板を整列したとき、画素電極 1 9 0 の切開部 1 9 1、1 9 2、1 9 3 と基準電極 2 7 0 の切開部 2 7 1、2 7 2、2 7 3 は画素領域を複数の小ドメインに分割する。これらの小ドメインは、その内部に位置する液晶分子の平均長軸方向によって 4 種類に分類される。小ドメインは細長く形成されていて幅方向と長さ方向が区別される。ここで、幅は小ドメインの二つの長辺間の距離を示し、その大きさは $30 \mu\text{m}$ 以下に設定されている。小ドメインの幅が $30 \mu\text{m}$ 以下であれば 25ms 以下の応答時間を期待できる。しかし、1 フレーム単位で変化する動画を表現するためには、 20ms 以下の応答時間が要求されており、そのためには小ドメインの幅が $17 \mu\text{m}$ 以下に設定される必要がある。一方、テクスチャーの量を 0.03 以下に維持するためには、小ドメインの幅が $28 \mu\text{m}$ 以下に設定される必要があり、PVA モード液晶表示装置の 3 次透過効率が 90% 以上になるためには、小ドメインの幅を $22 \mu\text{m}$ 以下に設定する必要がある。小ドメインの幅が $22 \mu\text{m}$ 以下に設定されれば、テクスチャーの量は 0.02 以下に維持できる。

30

【 0 0 2 9 】

また、応答時間は切開部の幅とも関連している。切開部の幅が $24 \mu\text{m}$ 以下であれば応答時間は 25ms 以下となり、切開部の幅が $5 \mu\text{m}$ 以下であれば応答時間は 20ms 以下となる。

40

【 0 0 3 0 】

以下、小ドメインの幅と応答時間、テクスチャーの量及び透過効率の関係について検討する。

PVA モードにおいて、切開部による電界の変形を利用して広視野角を得ているが、反面切開部によって電界が歪曲する部分があり、この部分で液晶分子が望ましくない動きをしてテクスチャーが生じ、テクスチャーによって透過効率及び応答速度の低下が生ずる。本発明では、テクスチャーを制御するために小ドメインの幅と切開部の幅を調整する。まず、応答特性に対して検討する。

【 0 0 3 1 】

50

図5はPVAモードにおける電極間隔（小ドメインの幅）別の応答特性を示すグラフである。

表1は、小ドメインの幅がそれぞれ21 μm 、23 μm 、25 μm 、27 μm である液晶セルを用いて応答特性を評価した結果を示すものである。

【0032】

【表1】

小ドメインの幅 (μm)	21	23	25	27
ON	14.4	15.0	16.2	17.0
OFF	7.4	7.2	7.4	7.4
ON+OFF	21.8	22.2	23.6	24.4

10

表1によれば、小ドメインの幅が狭くなるほど応答時間が短くなることが分かる。より詳細には、オフ時間は、小ドメインの幅が狭くなっても特別な変化がないが、オン時間が減少し、これらの和である応答時間が短くなる。表1の結果をグラフで示したものが図5であり、図5によれば、小ドメインの幅が約17 μm 以下になれば20ms以下の応答時間を期待できる。

【0033】

以下、小ドメインの幅による応答波形に対して検討する。

20

図6は電極間隔（小ドメインの幅）別の応答波形曲線であり、図7は電極間隔（小ドメインの幅）別のオンカusp（ON cusp）位置を示すグラフである。

【0034】

図6から分かるように、小ドメインの幅が狭いほど応答波形曲線の位置が高い。つまり、小ドメインの幅と応答波形曲線の位置は反比例する。したがって、図7に示すように、オンカuspの位置も小ドメインの間隔が狭くなるほど高い。図7によれば、小ドメインの幅が約15.89 μm になるときにカuspが透過率90%に位置する。ここで、オン時間は12ms程度と予想されており、全応答時間は19.27msとなる。

【0035】

図8は電極間隔（小ドメインの幅）別のテクスチャーの応答波形曲線である。

30

小ドメインの幅によるテクスチャーの発生推移を分析するために逆偏光板を付着し、電圧印加によるテクスチャーの応答波形及び定量的特性に関して検討する。テクスチャーを定量化するために、テクスチャーをダイナミックとスタティックに区分する。ダイナミックテクスチャーとは、オン電圧の印加後に時間経過によってテクスチャーが動的に変化する量を指し、図8に示される点線の上部面積に該当する。スタティックテクスチャーは、テクスチャーが安定した後に残されるテクスチャーの量であって、図8に示す点線の下部面積に該当する。前記のダイナミックとスタティックテクスチャーは次の式で示すことができる。

【0036】

ダイナミックテクスチャー = テクスチャーの透過度変化量 \times テクスチャーの安定化時間 $\times 0.5$

40

スタティックテクスチャー = ダイナミックテクスチャーの最少透過度 \times テクスチャーの応答波の幅

全体のテクスチャー = ダイナミックテクスチャー + スタティックテクスチャー

テクスチャーの安定化時間 = テクスチャーの最大透過度時間 - テクスチャーの最少透過度時間

表2に、前記式に基づいて、図8のテクスチャー応答波形を求めた結果が示されている。

【0037】

【表 2】

電極間隔[μm]	21	23	25	27
テクスチャーの最大透過度	0.0450	0.0500	0.0600	0.0700
テクスチャーの最小透過度	0.0360	0.0370	0.0410	0.0450
テクスチャーの透過度変化量	0.0090	0.0130	0.0190	0.0250
テクスチャーの最大透過度時間[sec]	0.0160	0.0010	0.0000	0.0000
テクスチャーの最小透過度時間[sec]	0.1620	0.2130	0.2360	0.2860
テクスチャー安定化時間[sec]	0.1460	0.2120	0.2360	0.2860
ダイナミックテクスチャー	0.0007	0.0014	0.0023	0.0036
スタティックテクスチャー	0.0184	0.0195	0.0221	0.0239
全体テクスチャー	0.0198	0.0214	0.0250	0.0282

10

表 2 によれば、電極間隔が狭いほどテクスチャー発生量が減少することが分かる。テクスチャーの透過度変化量は電極間隔に比例している。オン電圧印加後、テクスチャーが安定化するのにかかる時間は、電極間隔が広いほど長くなる。つまり、電極間隔が狭いほど液晶に与える電界効果が強いためドメインが速く安定化し、その結果、応答速度が速くなるわけである。PVAモードにおいて応答時間が20ms以下になるためには、全体のテクスチャーが0.013以下である必要がある。表 2 によれば、全体のテクスチャーが0.013以下になるために小ドメインの幅が約17 μm 以下である必要がある。また、表 2 によれば、全体のテクスチャー量が0.03以下になるために小ドメインの幅が28 μm 以下を維持する必要がある。全体のテクスチャー量が0.02以下であるためには小ドメインの幅が22 μm 以下を維持する必要がある。

20

【0038】

以下、透過効率に対して検討する。

まず、液晶表示装置の透過効率に関し、PVAのような多重ドメイン垂直配向モードにおいて、他のモードとは異なってブラシやテクスチャーなど液晶方向性の不安定によって生ずる現象が透過特性を低下させることが多い。よって、PVAモードにおいて、開口率のみでなく切開パターンの形状など様々な要素によって透過率が決定される。

30

【0039】

PVAモードにおける光損失の要因は表 3 のように 3 つに分けられる。

【0040】

【表 3】

光損失要因	細部因子	説明
1 次要因	開口率 カラーフィルタ 吸収 偏光板	1 次要因は、機械的要因によるものでブラックマトリックスや維持電極配線などの金属配線による吸収及びITO、SiNxなど屈折率の高い物質による反射、後面偏光板による吸収、カラーフィルタによる吸収などである。ただし、前面偏光板による吸収やITO切開部面積等は1 次要因に含まれない。前面偏光板による吸収は、液晶の Δn などに関連する要因であるため機械的な要因と見なすことが難しい。また、ITO切開部も光が透過する領域であるので開口面積に含まれる。
2 次要因	Δn セルギャップ 駆動電圧	電気光学的である要因であって光が感じる有効 Δn に関連する量である。 Δn 及び駆動電圧を同じ要因に入れるのは、印加電圧によって光が感じる有効 Δn が変化するためである。特に、駆動電圧は切開部領域にも影響を及ぼし、2 次要因は切開部領域を含めて全体平均駆動電圧に比例する要因である。よって、切開部が広くなれば平均駆動電圧が減少して2 次要因による透過光の減少量が多くなり、2 次効率が減少する。
3 次要因	テクスチャー	液晶の方向性が不安定なためテクスチャーやブラシが生じ輝度が減少する部分である。PVAのドメイン安定性に関連する要素である。

10

20

透過率に関わる前記種々の要因に対して定量的に分析するために、PVAの透過効率に関して以下のように定義する。

【0041】

1 次透過効率 = 後面偏光板のみを付着したときの透過輝度 / 光源の輝度

2 次透過効率 = (正常偏光板付着時の透過輝度 + 逆偏光板付着時の透過輝度) / 後面偏光板のみを付着したときの透過輝度

3 次透過効率 = 正常偏光板付着時の透過輝度 / (正常偏光板付着時の透過輝度 + 逆偏光板付着時の透過輝度)

30

全体の透過率 = 1 次透過効率 × 2 次透過効率 × 3 次透過効率

ここで、正常偏光板付着時とは偏光板の透過軸が液晶の動き方向に対し45度または135度をなすように配置される場合であり、逆偏光板付着時とは偏光板の透過軸が液晶の動き方向に対し平行であるか、垂直をなすように配置されることを意味する。本発明の実施例のように、小ドメインが斜線方向に細長く形成される場合には、ゲート線と平行であるか垂直をなすのが正常偏光板付着時であり、ゲート線と45度または135度をなす場合が逆偏光板付着時である。

【0042】

図9は電極間隔(小ドメインの幅)別の2次透過効率を示すグラフであり、図10は電極間隔(小ドメインの幅)別の3次透過効率を示すグラフである。

40

表4は、小ドメインの幅を21 μm 、23、25 μm 及び27 μm にし、前記定義に基づいて、1次、2次、3次の効率を分析した結果を示している。

【0043】

【表 4】

小ドメインの幅[μm]	開口率[%]	1次効率[%]	2次効率[%]	3次効率[%]	全体透過率[%]	相手透過率[%]
21	38.7	7.25	58.76	90.37	3.85	99.50
23	39.4	7.24	59.61	89.78	3.88	100.30
25	40.0	7.26	59.63	89.21	3.86	99.70
27	40.6	7.23	60.44	88.48	3.87	100.00

10

表 4 は、切開部の幅は維持しながら小ドメインの幅のみを変えたもので、開口率は小ドメインの幅に比例する特性を有する。ブラックマトリックスや維持電極配線などの金属配線、カラーフィルター樹脂、後面偏光板などによる吸収、ITO や SiNx など屈折率の高い物質による反射、ITO 切開部の面積などが類似する条件であるので、1次効率は小ドメインの幅が変化しても大きな差は示さなかった。2次効率は、電気光学的な要因であって光が感じる有効 nd に関連する。よって、小ドメインの幅が狭いほど切開部が占める領域が広がるので、単位面積当り平均駆動電圧が減少して2次要因による光の吸収が多くなり、これにより、2次効率が減少する。反面、3次効率は、液晶の方向性が不安定なためにテクスチャーやブラシが生じて輝度が減少する程度を示すもので、小ドメインの幅が狭いほどテクスチャーの発生が減少し3次効率が增加する。結局、小ドメインの幅が狭くなれば2次効率は減少するが、3次効率が增加しており、全体の透過率には大きな差が生じない。

20

【0044】

表 4 の 2 次効率及び 3 次効率をグラフで示したのが図 9 と図 10 である。図 9 と図 10 によれば、小ドメインの間隔を $17\mu\text{m}$ に設定するとき、開口率は 37.5% 、1 次効率は 7.2% 、2 次効率は 57.8% 、3 次効率は 91.6% であり、全体の透過率は 3.84% である。よって、輝度減少はほとんど発生せず、応答時間は 20ms 以下を達成することができる。

【0045】

以上、小ドメインの幅による応答時間及び透過率の変化について検討したが、PVA モードにおいて応答時間や透過率は切開部の構造にも影響を受ける。以下、切開部の幅による応答時間及び透過率の変化について検討する。

30

【0046】

図 11 は PVA モードにおいて基準電極の切開部幅別の応答特性を示すグラフである。

表 5 は、基準電極の切開部の幅 (図 3 で $W2$) を $9\mu\text{m}$ 、 $11\mu\text{m}$ 、 $13\mu\text{m}$ 及び $15\mu\text{m}$ に設定した液晶セルに対する応答特性の測定結果である。

【0047】

【表 5】

パターン幅[μm]	9	11	13	15
ON	13.20	14.20	14.50	14.60
OFF	7.80	7.60	7.90	8.00
ON+OFF	21.00	21.80	22.40	22.60

40

表 5 によれば、切開部の幅が狭くなるほど応答時間が短くなることが分かる。切開部の幅が減少するほど電極面積が増加し、液晶分子に与える電界の強度が増加して応答時間が減少するわけである。より詳細には、オフ時間の改善は生じないが、オン時間は切開部の幅が狭くなるほど短くなる。図 11 は、表 5 の結果をグラフで示すものである。図 11 によれば、切開部の幅が $5\mu\text{m}$ 以下であるとき、 20ms 以下の応答時間を達成することができる。

50

【0048】

一方、基本的に切開部の幅はフリンジフィールド (fringe field) を形成するために、切開部の幅/液晶層のセルギャップ 1.0 を満足しなければならない。

以下、切開部の幅による透過率の変化に対して検討する。

【0049】

図12はPVAモードにおいて基準電極の切開部の幅に対する透過率を示すグラフである。

表6は、基準電極の切開部の幅(図3でW2)を9 μm 、11 μm 、13 μm 及び15 μm に設定した液晶セルに対する応答特性の測定結果である。

【0050】

【表6】

小ドメインの幅[μm]	開口率[%]	透過率[%]	相手透過率[%]
9	41.9	3.83	108.81
11	39.4	3.80	107.95
13	37.3	3.65	103.69
15	35.6	3.52	100.00

表6によれば、小ドメインの幅が減少するほど開口率が増加し、これにより、透過率も増加することが分かる。表6の結果をグラフで示したのが図12である。図12によれば、ドメインの幅を5 μm に減らすとき、透過率は約16%向上する。

【0051】

以上では基準電極の切開部の幅を変化する場合に対する測定例であったが、画素電極の切開部の幅を変化する場合に対しても同様の結果を得ることができる。

また、切開部に代わって誘電体突起をドメイン分割手段として使用しても同様の結果を得ることができる。

【0052】

以上のように、小ドメインの幅を調整することによって応答速度を向上させることができ、切開部の幅を調整することによって応答速度及び透過率を向上させることができる。

以下、このような構造及び効果を有する本発明の実施例による液晶表示装置用薄膜トランジスタ基板を製造する方法について説明する。

【0053】

まず、図13乃至図17を参考にして5枚の光マスクを用いる方法について説明する。

図13に示すように、基板110上に物理、化学的特性が優れたCrまたはMo合金などを蒸着して第1ゲート配線層211、231、251を積層し、低抵抗のAlまたはAg合金などを蒸着して第2ゲート配線層212、232、252を積層した後パターンニングしてゲート線121、ゲート電極123及びゲートパッド125を備える横方向にのびるゲート配線を形成する。この時、図示しない維持電極配線も形成する(第1マスク)。

【0054】

この時、第1ゲート配線層211、231、251をMo合金で形成し、第2ゲート配線層212、232、252をAg合金で形成した場合には、これら二つの層が全てAg合金エッチング剤であるリン酸、硝酸、酢酸及び超純水を混合した物質によってエッチングされる。よって、一回のエッチング工程で二重層のゲート配線121、123、125を形成することができる。また、リン酸、硝酸、酢酸及び超純水の混合物によるAg合金とMo合金に対するエッチング比に関しては、Ag合金に対するエッチング比がより大きいので、ゲート配線に必要な30度のテーパ角を得ることができる。

【0055】

次に、図14に示すように、窒化ケイ素からなるゲート絶縁膜140、非晶質シリコン

10

20

30

40

50

層、ドーピングされた非晶質シリコン層の3層膜を連続して積層し、非晶質シリコン層とドーピングされた非晶質シリコン層を共にフォトエッチングして、ゲート電極123上部のゲート絶縁膜140上に半導体層151と抵抗性接触層160を形成する(第2マスク)。

【0056】

次に、図15に示すように、CrまたはMo合金などを蒸着して第1データ配線層711、731、751、791を積層し、AlまたはAg合金などを蒸着して第2データ配線層712、732、752、792を積層した後、フォトエッチングして、ゲート線121と交差するデータ線171、データ線171と連結されゲート電極121上部までのびているソース電極173、データ線171は一端に連結されているデータパッド179及びソース電極173と分離され、ゲート電極121を中心にソース電極173と対向するドレイン電極175を備えるデータ配線を形成する(第3マスク)。

10

【0057】

次に、データ配線171、173、175、179で遮らないドーピングされた非晶質シリコン層パターン160をエッチングしてゲート電極123を中心に両側に分離する一方、両側のドーピングされた非晶質シリコン層163、165の間の半導体層パターン151を露出させる。次いで、露出された半導体層151の表面を安定化するために酸素プラズマ処理を施すのが好ましい。

【0058】

次に、図16に示すように、a-Si:C:O膜またはa-Si:O:F膜を化学気相蒸着(CVD)法で成長させたり、窒化ケイ素などの無機絶縁膜を蒸着したり、アクリル系物質などの有機絶縁膜を塗布して保護膜180を形成する。この時、a-Si:C:O膜の場合、気体状のSiH(CH₃)₃、SiO₂(CH₃)₄、(SiH)₄O₄(CH₃)₄、Si(C₂H₅O)₄などを基本ソースとして用い、N₂OまたはO₂などの酸化剤とArまたはHeなどを混合した気体を流入しながら蒸着する。また、a-Si:O:F膜の場合には、SiH₄、SiF₄などにO₂を添加した気体を流入しながら蒸着する。この時、フッ素の補助ソースとしてCF₄を添加することもできる。

20

【0059】

次いで、フォトエッチング工程でゲート絶縁膜140と共に保護膜180をパターニングして、ゲートパッド125、ドレイン電極175及びデータパッド179を露出する接触孔181、182、183を形成する。ここで、接触孔181、182、183は、角のある模様や円形模様に形成することもでき、パッド125、179を露出する接触孔125、179の面積は2mm×60μmを越えず、0.5mm×15μm以上であることが好ましい。一方、図示しないが、維持配線連結橋が維持電極線及び維持電極と接触するための接触孔もこの段階で形成する(第4マスク)。

30

【0060】

最後に、図17に示すように、ITOまたはIZO膜を蒸着しフォトエッチングして、第1接触孔181を通じてドレイン電極175と連結される画素電極190と第2接触孔182及び第3接触孔183を通じてゲートパッド125及びデータパッド179とそれぞれ連結される補助ゲートパッド95及び補助データパッド97を形成する。ITOやIZOを積層する前の予熱工程に用いられる気体には窒素が好ましい。これは、接触孔181、182、183を通じて露出されている金属膜の上部に金属酸化膜が形成されることを防ぐためである。一方、図示しない維持配線連結橋もこの段階で共に形成する(第5マスク)。

40

【0061】

4枚の光マスクを用いて本発明の実施例による薄膜トランジスタ基板を製造する方法について説明する。

図18a、18b乃至図26a、26bは本発明の実施例による液晶表示装置用薄膜トランジスタ基板を4枚のマスクで作製する工程順を示す断面図である。

【0062】

まず、図18a乃至18bに示すように、第1実施例と同様に、物理、化学的特性が優れ

50

たCrまたはMo合金などを蒸着して第1ゲート配線層211、231、251、311を積層し、低抵抗のAlまたはAg合金などを蒸着して第2ゲート配線層211、231、251、311を積層した後、フォトエッチングしてゲート線121、ゲートパッド125、ゲート電極123を備えるゲート配線及び維持電極配線131を形成する(第1マスク)。

【0063】

次に、図19a及び19bに示すように、窒化ケイ素からなるゲート絶縁膜140、半導体層150、接触層160を化学気相蒸着法を利用してそれぞれ1,500乃至5,000、500乃至2,000、300乃至600の厚さに連続蒸着し、次いで、CrまたはMo合金などからなる第1導電膜701と、AlまたはAg合金からなる第2導電膜702をスパッタリング法などで蒸着して導電体層170を形成した後、その上に感光膜(PR)を1 μ m乃至2 μ mの厚さに塗布する。

10

【0064】

その後、マスクを通じて感光膜(PR)に光を照射した後現像して図19a及び19bに示すように、感光膜パターン(PR1、PR2)を形成する。この時、感光膜パターン(PR1、PR2)のうち薄膜トランジスタのチャンネル部(C)、つまりソース電極173とドレイン電極175との間に位置する第2部分(PR2)はデータ配線部(A)、つまりデータ配線が形成される部分に位置する第1部分(PR1)よりも薄い厚さにし、その他の部分(B)の感光膜は全て除去する。この時、チャンネル部(C)に残される感光膜(PR2)の厚さとデータ配線部(A)に残される感光膜(PR1)の厚さ比率は後述するエッチング工程の工程条件によって異なる必要があり、第2部分(PR2)の厚さを第1部分(PR1)の厚さの1/2以下とするのが好ましい。例えば、4,000以下であるのが良い。

20

【0065】

このように、位置によって感光膜の厚さを異ならせる方法は様々であり、A領域の光透過量を調節するために主にスリットや格子形態のパターンを形成したり半透明膜を用いる。この時、スリットの間位置するパターンの線幅やパターン間隔、つまりスリットの幅は露光時に使う露光器の分解能より小さいのが好ましく、半透明膜を利用する場合には、マスク作製時に透過率を調節するために、異なる透過率を有する薄膜を用いたり、厚さが異なる薄膜を用いることができる。

【0066】

このようなマスクを通じて感光膜に光を照射すれば、光に直接露出される部分では高分子が完全に分解され、スリットパターンや半透明膜が形成されている部分では光照射量が少なく高分子は不完全分解状態となり、遮光膜で遮った部分では高分子がほとんど分解されない。次いで、感光膜を現像すれば、分子が分解されなかった高分子部分だけが残り、照射光が少ない中央部分には光に全く照射されなかった部分よりも厚さの薄い感光膜が残る。この時、露光時間を長くすれば全ての分子が分解されてしまうので、そうならないように注意する必要がある。

30

【0067】

このような厚さの薄い感光膜(PR2)は、リフローが可能な物質からなる感光膜を利用し、光が完全に透過できる部分と光が完全に透過できない部分に分けられた通常のマスクで露光した後現像しリフローさせて、感光膜が残留しない部分に感光膜の一部が流れるようにして形成することもできる。

40

【0068】

次に、感光膜パターン(PR2)及びその下部の膜、つまり導電体層170、接触層160及び半導体層150に対するエッチングを実施する。この時、データ配線部(A)にはデータ配線及びその下部の膜がそのまま残り、チャンネル部(C)には半導体層のみが残るべきであり、その他の部分(B)には前記三つの層150、160、170が全て除去されてゲート絶縁膜140が露出する必要がある。

【0069】

まず、図21a及び図21bに示すように、その他の部分(B)の露出される導電体層170を除去し、その下部の接触層160を露出する。この過程において、乾式エッチング

50

法または湿式エッチング法をいずれも使用することができ、この時、導電体層170はエッチングされ、感光膜パターン(PR1、PR2)はほとんどエッチングされない条件下で行うことが良い。ところが、乾式エッチングの場合、導電体層170のみをエッチングし、感光膜パターン(PR1、PR2)はエッチングされない条件を見つけることが難しいため、感光膜パターン(PR1、PR2)も共にエッチングされる条件下で実施しても構わない。この際に、湿式エッチングのときよりも第2部分(PR2)の厚さを厚くして、この過程で第2部分(PR2)が除去されて下部の導電体層170が露出することが生じないようにする。

【0070】

このようにして、図21a及び図21bに示すように、チャンネル部(C)及びデータ配線部(B)の導電体層171、173、175、179と保持容量用電極177のみが残り、その他の部分(B)の導電体層は全て除去されてその下部の接触層160が露出する。この際に残された導電体パターン171、173、175、179は、ソース及びドレイン電極173、175が分離されずに連結されている点を除いて、データ配線171、173、175、179の形態と同じである。そして、乾式エッチング法を実施した場合、感光膜パターン(PR1、PR2)もある程度の厚さがエッチングされる。

【0071】

次に、図22a及び22bに示すように、その他の部分(B)の露出された接触層160及びその下部の半導体層150を感光膜の第2部分(PR2)と共に乾式エッチング法で同時に除去する。この際のエッチングは、感光膜パターン(PR1、PR2)と接触層160及び半導体層150(半導体層と中間層はエッチング選択性がほとんどない)が同時にエッチングされ、ゲート絶縁膜140はエッチングされない条件下で行うべきであり、特に感光膜パターン(PR1、PR2)と半導体層150に対するエッチング比がほぼ同じな条件でエッチングすることが好ましい。例えば、SF6とHClの混合気体や、SF6とO2の混合気体を用いれば、ほとんど同一な厚さに二つの膜をエッチングできる。感光膜パターン(PR1、PR2)と半導体層150に対するエッチング比が同じな場合、第2部分(PR2)の厚さは、半導体層150と中間層160の厚さを合せたそれと同じであるか、それより小さくする必要はある。

【0072】

このようにして、図22a及び22bに示すように、チャンネル部(C)の第2部分(PR2)が除去されてソース/ドレイン用導電体パターン173、175が露出し、その他の部分(B)の接触層160及び半導体層150が除去されてその下部のゲート絶縁膜140が露出する。一方、データ配線部(A)の第1部分(PR1)もエッチングされて厚さが薄くなる。なお、この段階で半導体パターン151、153、157が完成する。半導体パターン151、153、157の上には接触層161、163、165、169が形成されている。

【0073】

次にアッシング処理を通じてチャンネル部(C)のソース/ドレイン用導電体パターン173、175の表面に残っている感光膜残留物を除去する。

次に、図23a及び23bに示すように、チャンネル部(C)のソース/ドレイン用導電体パターン173、175及びその下部のソース/ドレイン用接触層パターン163、165をエッチングして除去する。この時、エッチングは、ソース/ドレイン用導電体パターン173、175及び接触層パターン163、165のいずれに対し乾式エッチング法のみを使用しても良く、ソース/ドレイン用導電体パターン173、175に対しては湿式エッチング法を、接触層パターン163、165に対しては乾式エッチング法を使用しても良い。前者の場合、ソース/ドレイン用導電体パターン173、175と接触層パターン163、165のエッチング選択比が大きい条件下でエッチングを実施するのが好ましい。これは、エッチング選択比が小さくないとき、エッチングの終了点を見つけ難くチャンネル部(C)に残る半導体パターン151の厚さ調節が容易ではないためである。湿式エッチング及び乾式エッチングを交互に実施する後者の場合には、湿式エッチングされる

10

20

30

40

50

ソース/ドレイン用導電体パターン173、175の側面はエッチングされるが、乾式エッチングされる接触層パターン163、165はほとんどエッチングされず階段状をなす。接触層163、165及び半導体パターン151をエッチングする際にに利用するエッチング気体の例には、CF₄とHClの混合気体やCF₄とO₂の混合気体があり、CF₄とO₂を利用すれば均一な厚さに半導体パターン151を残すことができる。この時、図22bに示すように、半導体パターン151の一部が除去されて厚さが薄くなることもあり、感光膜パターンの第1部分(PR1)もこの時ある程度の厚さがエッチングされる。この際のエッチングは、ゲート絶縁膜140がエッチングされない条件で行うべきであり、第1部分(PR1)がエッチングされてその下部のデータ配線171、173、175、179及び保持容量用電極177が露出することがないように、感光膜パターンが厚いことが望ましいのは勿論である。 10

【0074】

このようにして、ソース電極173とドレイン電極175が分離されて、データ配線171、173、175、179とその下部の接触層パターン161、163、165が完成する。

【0075】

最後に、データ配線部(A)に残る感光膜の第1部分(PR1)を除去する。ところが、第1部分(PR1)の除去は、チャンネル部(C)のソース/ドレイン用導電体パターン173、175を除去した後、その下の接触層パターン163、165をエッチングする前に行っても良い。 20

【0076】

前記のように、湿式エッチング法と乾式エッチング法を交互に実施したり乾式エッチング法のみを使用することができる。後者の場合、一種類のエッチング法のみを使用するので工程が比較的簡単である反面、適当なエッチング条件を見つけることが難しい。前者の場合、エッチング条件を見つけることが比較的簡単である反面、後者に比べて工程が面倒である。

【0077】

次に、図24a及び図24bに示すように、a-Si:C:O膜またはa-Si:O:F膜を化学気相蒸着(CVD)法によって成長させたり、窒化ケイ素などの無機絶縁物質を蒸着したり、またはアクリル系物質などの有機絶縁物質を塗布して保護膜180を形成する。この時、a-Si:C:O膜の場合、気体状のSiH(CH₃)₃、SiO₂(CH₃)₄、(SiH)₄O₄(CH₃)₄、Si(C₂H₅O)₄などを基本ソースにし、N₂OまたはO₂などの酸化剤とArまたはHeなどを混合した気体を流入しながら蒸着する。そして、a-Si:O:F膜の場合、SiH₄、SiF₄などにO₂を添加した気体を流入しながら蒸着する。この時、フッ素の補助ソースとしてCF₄を添加することもできる(第2マスク)。 30

【0078】

次に、図25a及び図25b示すように、保護膜180をゲート絶縁膜140と共にフォトリソエッチングして、ドレイン電極175、ゲートパッド125、データパッド179及び保持容量用電極177をそれぞれ露出する接触孔181、182、183、184を形成する。この時、パッド125、179を露出する接触孔182、183の面積は2mm×60μmを越えず、0.5mm×15μm以上であるのが好ましい。一方、図示しない維持配線連結橋が維持電極線と維持電極と接触するための接触孔もこの段階で形成する(第3マスク)。 40

【0079】

最後に、図26a及び図26bに示すように、400乃至500厚さのITO層またはIZO層を蒸着しフォトリソエッチングして、ドレイン電極175及び保持容量用電極177と連結された画素電極190、ゲートパッド125と連結された補助ゲートパッド95、及びデータパッド179と連結された補助データパッド97を形成する。一方、図示しない維持配線連結橋もこの段階で共に形成する(第4マスク)。

【0080】

この時、画素電極190、補助ゲートパッド95及び補助データパッド97をIZOで形成する際にエッチング液にクロムエッチング液を使用できて、これらを形成するためのフォトリソグラフィング過程において接触孔を通じて露出するデータ配線やゲート配線金属が腐食するのを防ぐことができる。このようなクロムエッチング液には、 $(\text{HNO}_3 / (\text{NH}_4)_2\text{Ce}(\text{NO}_3)_6 / \text{H}_2\text{O})$ などがある。なお、接触部の接触抵抗を最少化するためには、IZOを常温から200以下の範囲で積層するのが好ましく、IZO薄膜を形成するために使用する標的は In_2O_3 及び ZnO を含むのが好ましく、 ZnO の含有量は15～20at%の範囲であるのが好ましい。

【0081】

一方、ITOやIZOを積層する前の予熱工程で用いる気体には窒素が好ましい。これは、接触孔181、182、183、184を通じて露出した金属膜の上部に金属酸化膜が形成されるのを防ぐためである。

10

【0082】

以上、本発明の好ましい実施例について詳細に説明したが、本発明の権利範囲はこれに限定されず、特許請求の範囲で定義している本発明の基本概念を利用した当業者の様々な変形及び改良形態も本発明の権利範囲に属するものである。特に、画素電極及び基準電極に形成する切開部の配置は多様に変形できる。

【0083】

前記のような構成により、液晶表示装置の開口率を向上させることができ、画像信号の歪曲を減少させることができる。

20

【図面の簡単な説明】

【0084】

【図1】本発明の第1実施例による液晶表示装置用薄膜トランジスタ基板の配置図である。

【図2】本発明の第1実施例による液晶表示装置用カラーフィルター基板の配置図である。

【図3】本発明の第1実施例による液晶表示装置の配置図である。

【図4】図3に示すIV-IV'線による断面図である。

【図5】PVAモードにおいて電極間隔(小ドメインの幅)別の応答特性を示すグラフである。

30

【図6】電極間隔(小ドメインの幅)別の応答波形曲線である。

【図7】電極間隔(小ドメインの幅)別のオンカusp(ON cusp)の位置を示すグラフである。

【図8】電極間隔(小ドメインの幅)別のテクスチャーの応答波形曲線である。

【図9】電極間隔(小ドメインの幅)別の2次透過効率を示すグラフである。

【図10】電極間隔(小ドメインの幅)別の3次透過効率を示すグラフである。

【図11】PVAモードにおいて基準電極の切開部の幅別の応答特性を示すグラフである。

【図12】PVAモードにおいて基準電極の切開部の幅に対する透過率を示すグラフである。

40

【図13】本発明の実施例による液晶表示装置用薄膜トランジスタ基板を5枚のマスク工程で作製する工程順を示す断面図である(1)。

【図14】本発明の実施例による液晶表示装置用薄膜トランジスタ基板を5枚のマスク工程で作製する工程順を示す断面図である(2)。

【図15】本発明の実施例による液晶表示装置用薄膜トランジスタ基板を5枚のマスク工程で作製する工程順を示す断面図である(3)。

【図16】本発明の実施例による液晶表示装置用薄膜トランジスタ基板を5枚のマスク工程で作製する工程順を示す断面図である(4)。

【図17】本発明の実施例による液晶表示装置用薄膜トランジスタ基板を5枚のマスク工程で作製する工程順を示す断面図である(5)。

50

【図18a】本発明の実施例による液晶表示装置用薄膜トランジスタ基板を4枚のマスク工程で作製する工程順を示す断面図である(1)。

【図18b】本発明の実施例による液晶表示装置用薄膜トランジスタ基板を4枚のマスク工程で作製する工程順を示す断面図である(2)。

【図19a】本発明の実施例による液晶表示装置用薄膜トランジスタ基板を4枚のマスク工程で作製する工程順を示す断面図である(3)。

【図19b】本発明の実施例による液晶表示装置用薄膜トランジスタ基板を4枚のマスク工程で作製する工程順を示す断面図である(4)。

【図20a】本発明の実施例による液晶表示装置用薄膜トランジスタ基板を4枚のマスク工程で作製する工程順を示す断面図である(5)。

10

【図20b】本発明の実施例による液晶表示装置用薄膜トランジスタ基板を4枚のマスク工程で作製する工程順を示す断面図である(6)。

【図21a】本発明の実施例による液晶表示装置用薄膜トランジスタ基板を4枚のマスク工程で作製する工程順を示す断面図である(7)。

【図21b】本発明の実施例による液晶表示装置用薄膜トランジスタ基板を4枚のマスク工程で作製する工程順を示す断面図である(8)。

【図22a】本発明の実施例による液晶表示装置用薄膜トランジスタ基板を4枚のマスク工程で作製する工程順を示す断面図である(9)。

【図22b】本発明の実施例による液晶表示装置用薄膜トランジスタ基板を4枚のマスク工程で作製する工程順を示す断面図である(10)。

20

【図23a】本発明の実施例による液晶表示装置用薄膜トランジスタ基板を4枚のマスク工程で作製する工程順を示す断面図である(11)。

【図23b】本発明の実施例による液晶表示装置用薄膜トランジスタ基板を4枚のマスク工程で作製する工程順を示す断面図である(12)。

【図24a】本発明の実施例による液晶表示装置用薄膜トランジスタ基板を4枚のマスク工程で作製する工程順を示す断面図である(13)。

【図24b】本発明の実施例による液晶表示装置用薄膜トランジスタ基板を4枚のマスク工程で作製する工程順を示す断面図である(14)。

【図25a】本発明の実施例による液晶表示装置用薄膜トランジスタ基板を4枚のマスク工程で作製する工程順を示す断面図である(15)。

30

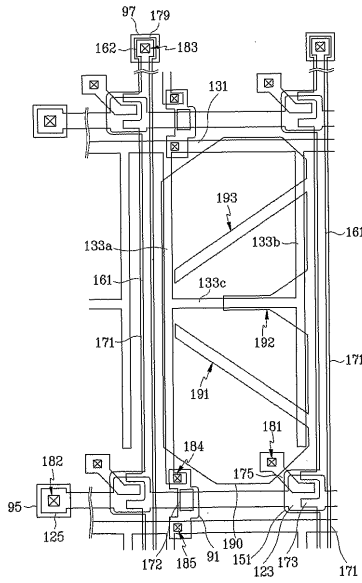
【図25b】本発明の実施例による液晶表示装置用薄膜トランジスタ基板を4枚のマスク工程で作製する工程順を示す断面図である(16)。

【図26a】本発明の実施例による液晶表示装置用薄膜トランジスタ基板を4枚のマスク工程で作製する工程順を示す断面図である(17)。

【図26b】本発明の実施例による液晶表示装置用薄膜トランジスタ基板を4枚のマスク工程で作製する工程順を示す断面図である(18)。

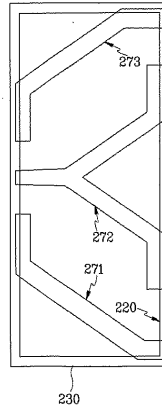
【 図 1 】

FIG.1



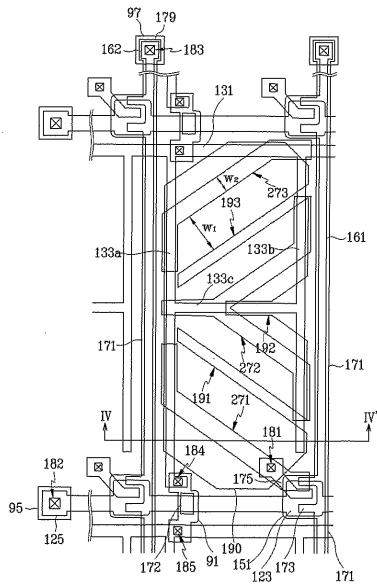
【 図 2 】

FIG.2



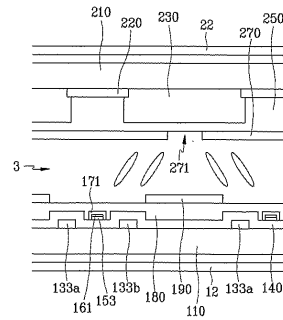
【 図 3 】

FIG.3

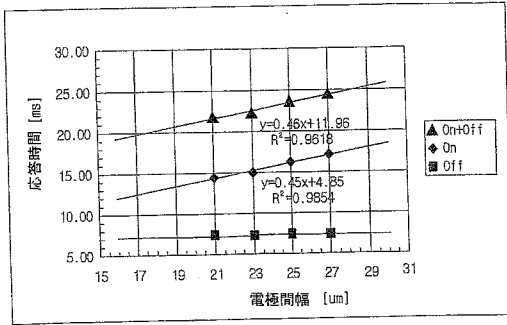


【 図 4 】

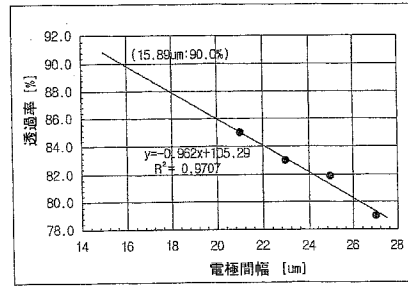
FIG.4



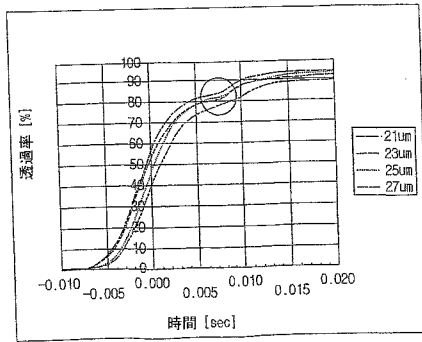
【 図 5 】



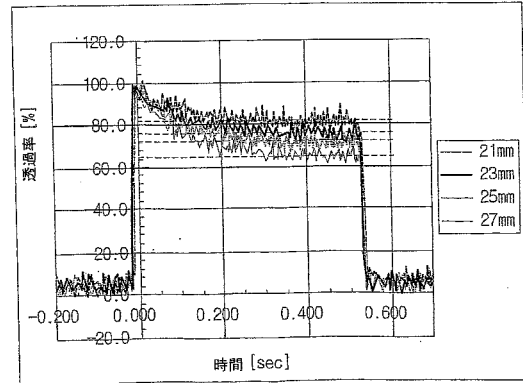
【 図 7 】



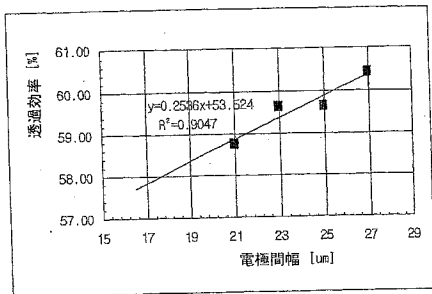
【 図 6 】



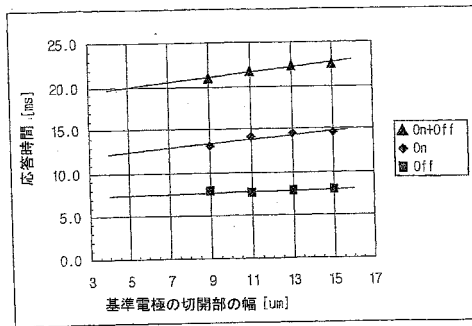
【 図 8 】



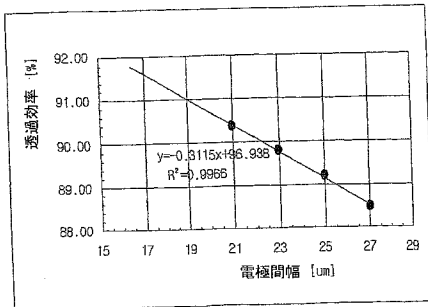
【 図 9 】



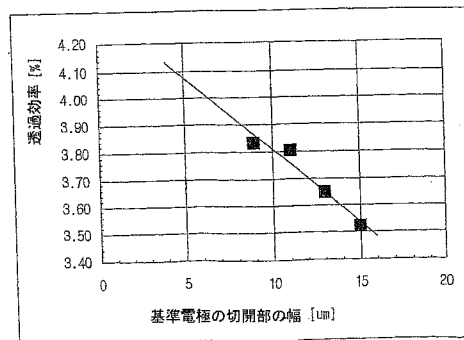
【 図 1 1 】



【 図 1 0 】

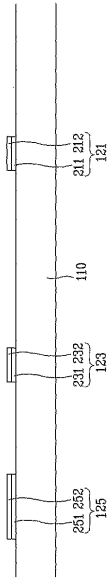


【 図 1 2 】



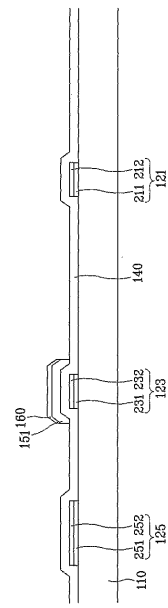
【 図 1 3 】

FIG.13



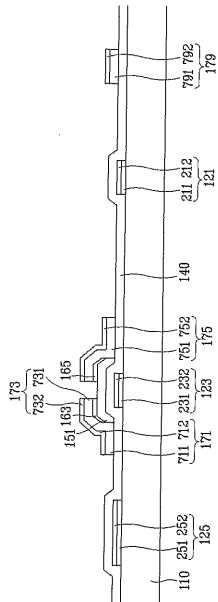
【 図 1 4 】

FIG.14



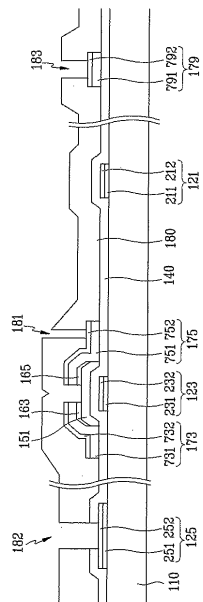
【 図 1 5 】

FIG.15



【 図 1 6 】

FIG.16



【 図 17 】

FIG.17

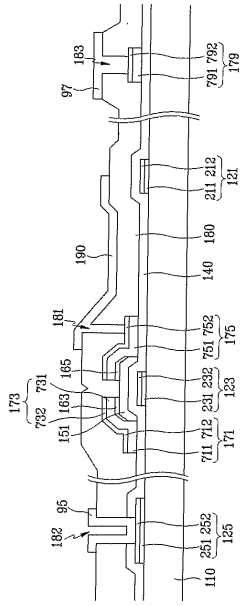


FIG.18B

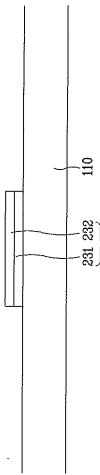


FIG.18A

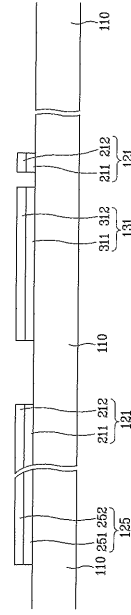


FIG.19A

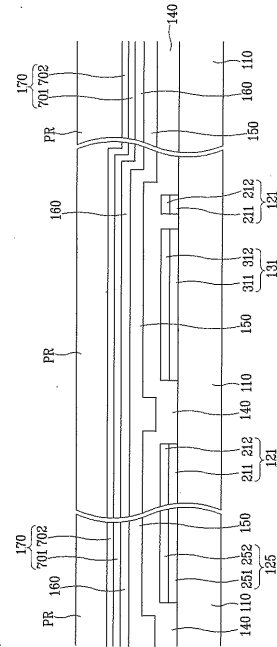


FIG.19B

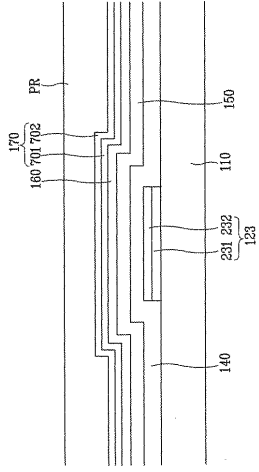


FIG.20B

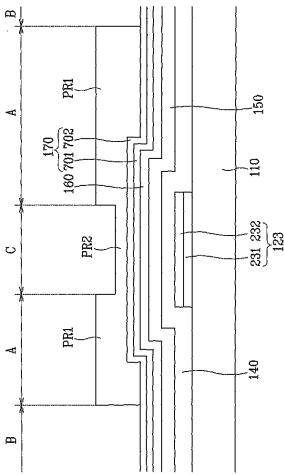


FIG.20A

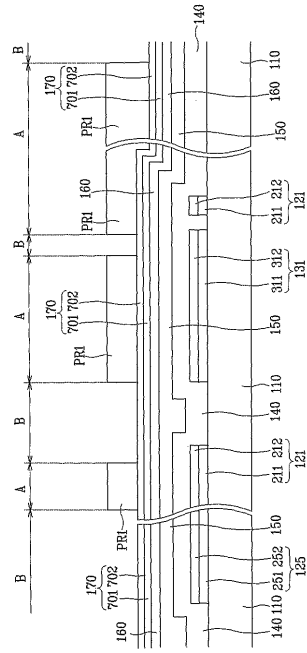


FIG.21A

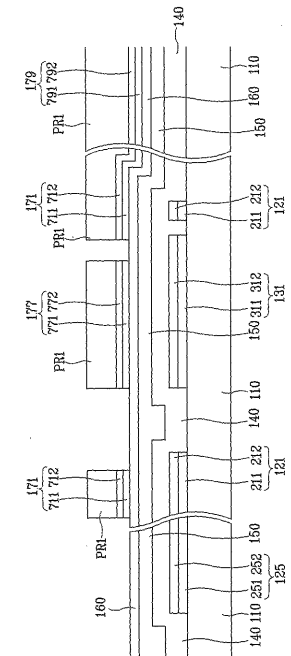


FIG.21B

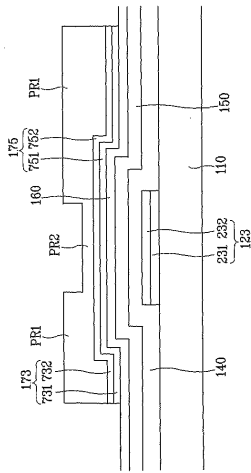


FIG.22B

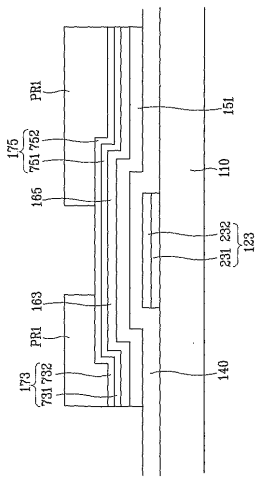


FIG.22A

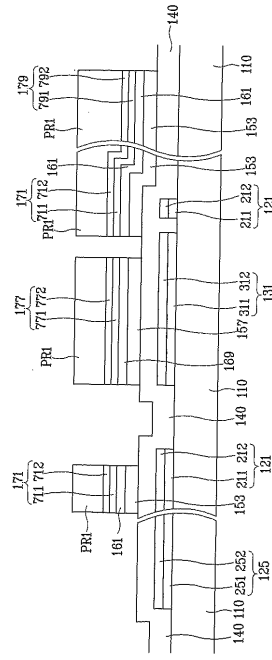


FIG.23A

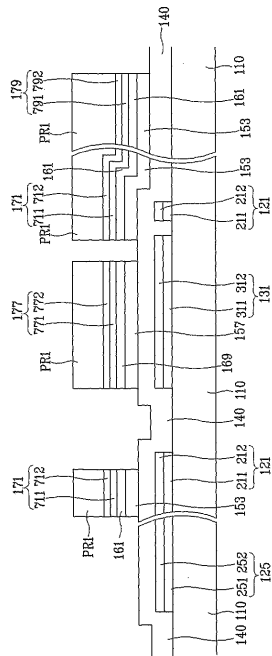


FIG. 23B

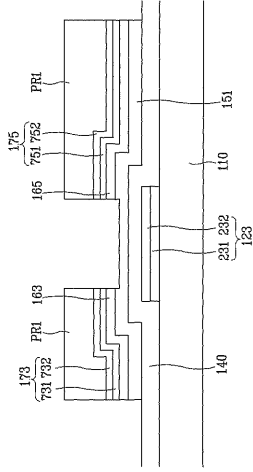


FIG. 24B

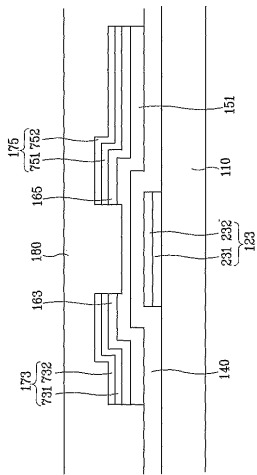


FIG. 24A

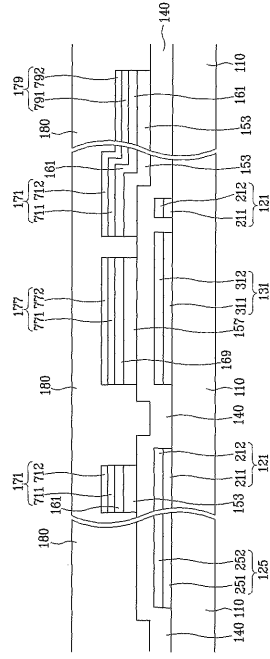
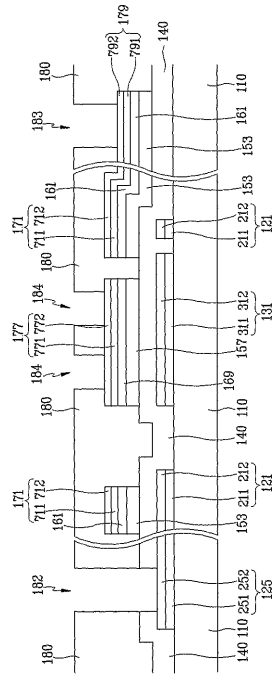




FIG. 25A



【 国際調査報告 】

INTERNATIONAL SEARCH REPORT		International application No. PCT/KR02/01782
A. CLASSIFICATION OF SUBJECT MATTER IPC7 G02F 1/1337 According to International Patent Classification (IPC) or to both national classification and IPC		
B. FIELDS SEARCHED Minimum documentation searched (classification system followed by classification symbols) IPC7 G02F 1/133		
Documentation searched other than minimum documentation to the extent that such documents are included in the fields searched Korean Patents and applications for inventions since 1975, Korean Utility Models and applications for Utility Models since 1975 Japanese Utility Models and applications for Utility Models since 1975		
Electronic data base consulted during the international search (name of data base and, where practicable, search terms used)		
C. DOCUMENTS CONSIDERED TO BE RELEVANT		
Category*	Citation of document, with indication, where appropriate, of the relevant passages	Relevant to claim No.
A	KR 10-2001-7523 A (NEC CORPORATION) 26 JANUARY 2001 See the whole paper	1-17
Y	KR 10-1999-79365 A (Oh Pyung Hee) 5 NOVEMBER 1999 See the whole paper	10-12,14-17
Y	KR 10-2000-11230 A (LG.PHILIPS LCD CO., LTD.) 25 FEBRUARY 2000 See the whole paper	10-12,14-17
<input type="checkbox"/> Further documents are listed in the continuation of Box C. <input checked="" type="checkbox"/> See patent family annex.		
* Special categories of cited documents: "A" document defining the general state of the art which is not considered to be of particular relevance "E" earlier application or patent but published on or after the international filing date "L" document which may throw doubts on priority claim(s) or which is cited to establish the publication date of citation or other special reason (as specified) "O" document referring to an oral disclosure, use, exhibition or other means "P" document published prior to the international filing date but later than the priority date claimed "T" later document published after the international filing date or priority date and not in conflict with the application but cited to understand the principle or theory underlying the invention "X" document of particular relevance; the claimed invention cannot be considered novel or cannot be considered to involve an inventive step when the document is taken alone "Y" document of particular relevance; the claimed invention cannot be considered to involve an inventive step when the document is combined with one or more other such documents, such combination being obvious to a person skilled in the art "&" document member of the same patent family		
Date of the actual completion of the international search 22 APRIL 2003 (22.04.2003)		Date of mailing of the international search report 22 APRIL 2003 (22.04.2003)
Name and mailing address of the ISA/KR  Korean Intellectual Property Office 920 Dunsan-dong, Seo-gu, Daejeon 302-701, Republic of Korea Facsimile No. 82-42-472-7140		Authorized officer CHANG, Kyung Tae Telephone No. 82-42-481-5769 

INTERNATIONAL SEARCH REPORT

International application No.

PCT/KR02/01782

Patent document cited in search report	Publication date	Patent family member(s)	Publication date
KR 10-2001-7523	26.02.2001	JP 2001-235752 JP 2001-235751 US 6407791	31.08.2001 31.08.2001 18.06.2002
KR 10-1999-79365	5.11.1999	NONE	
KR 10-2000-11230	25.02.2000	NONE	

フロントページの続き

(81)指定国 AP(GH,GM,KE,LS,MW,MZ,SD,SL,SZ,TZ,UG,ZM,ZW),EA(AM,AZ,BY,KG,KZ,MD,RU,TJ,TM),EP(AT, BE,BG,CH,CY,CZ,DE,DK,EE,ES,FI,FR,GB,GR,IE,IT,LU,MC,NL,PT,SE,SK,TR),OA(BF,BJ,CF,CG,CI,CM,GA,GN,GQ,GW, ML,MR,NE,SN,TD,TG),AE,AG,AL,AM,AT,AU,AZ,BA,BB,BG,BR,BY,BZ,CA,CH,CN,CO,CR,CU,CZ,DE,DK,DM,DZ,EC,EE,ES, FI,GB,GD,GE,GH,GM,HR,HU,ID,IL,IN,IS,JP,KE,KG,KP,KZ,LC,LK,LR,LS,LT,LU,LV,MA,MD,MG,MK,MN,MW,MX,MZ,NO,N Z,OM,PH,PL,PT,RO,RU,SD,SE,SG,SI,SK,SL,TJ,TM,TN,TR,TT,TZ,UA,UG,US,UZ,VC,VN,YU,ZA,ZM,ZW

(72)発明者 ソン, ジャン - クン

大韓民国, 137-778 ソウル, ソチョ - ク, ソチョ 4 - ドン, サミク アパート 5 - 2
01

(72)発明者 キム, ジン - ユン

大韓民国, キュンキ - ド, 449-846 ヨンギン - シティ, スジ - ウプ, ポンドウクチョン -
リ, 1065, シンジョン マウル ジュコン 1 - ダンジ アパ - ト 109-504

Fターム(参考) 2H090 HA04 HA16 HB07X HC06 HD03 HD05 KA07 LA01 LA04 MA01
MA15
2H091 FA02Y FA08 FA35Y FD04 FD15 GA03 GA06 GA07 GA13 GA16
HA09 LA16 LA19
2H092 GA14 HA04 JA24 JB05 JB52 JB58 KA05 NA04 NA07 PA02
PA08 QA09

专利名称(译)	垂直配向型液晶表示装置		
公开(公告)号	JP2005534056A	公开(公告)日	2005-11-10
申请号	JP2004522795	申请日	2002-09-19
[标]申请(专利权)人(译)	三星电子株式会社		
申请(专利权)人(译)	三星电子有限公司		
[标]发明人	チョイヨンミン ソンジャンクン キムジンユン		
发明人	チョイ,ヨン-ミン ソン,ジャン-クン キム,ジン-ユン		
IPC分类号	G02F1/1337 G02F1/1333 G02F1/1335 G02F1/1343 G02F1/1368 G02F1/139		
CPC分类号	G02F1/133707 G02F1/133753 G02F1/134309 G02F1/134336 G02F1/1393		
FI分类号	G02F1/1343 G02F1/1335.505 G02F1/1337.520 G02F1/1368		
F-TERM分类号	2H090/HA04 2H090/HA16 2H090/HB07X 2H090/HC06 2H090/HD03 2H090/HD05 2H090/KA07 2H090/LA01 2H090/LA04 2H090/MA01 2H090/MA15 2H091/FA02Y 2H091/FA08 2H091/FA35Y 2H091/FD04 2H091/FD15 2H091/GA03 2H091/GA06 2H091/GA07 2H091/GA13 2H091/GA16 2H091/HA09 2H091/LA16 2H091/LA19 2H092/GA14 2H092/HA04 2H092/JA24 2H092/JB05 2H092/JB52 2H092/JB58 2H092/KA05 2H092/NA04 2H092/NA07 2H092/PA02 2H092/PA08 2H092/QA09		
优先权	1020020042658 2002-07-19 KR		
外部链接	Espacenet		

摘要(译)

形成在第一绝缘基板上的栅极线，形成在栅极线上的栅极绝缘膜，形成在栅极绝缘膜上的数据线，形成在数据线上的保护膜，形成有第一切口图案的像素电极，a1，绝缘基板面对绝缘基板，参考电极具有形成在第二绝缘基板上的第二切口图案，并且由第一切口图案和第二切口图案划分的小域的宽度为30μm或更小制备液晶显示装置。

